

генерации фотонов в угол  $\vartheta < 5^\circ$  эффективность ИЖИ с рециркуляцией превышает эффективность традиционного источника также примерно в 20 раз (рис. 4). При этом из рис. 4 и 5 видно, что спектр рециркуляционного ИЖИ обогащается как за счет большего количества «мягких» фотонов, так и за счет «наполнения» спектра более жесткими гамма-квантами.

Таким образом, моделирование подтвердило высокую эффективность ИЖИ с рециркуляцией и смещением циркулирующих частиц по отношению к традиционным источникам. Это открывает широкие возможности для последующих разработок и исследований.

#### Литература

1. Ковалев В.П. Вторичные излучения ускорителей электронов. М., 1979.
2. Berger M.J., Seltzer S.M. // Phys. Rev. 1970. **C2**. P. 621.
3. Гришин В.К., Ермаков А.Н., Ишханов Б.С. и др. // Вестн. Моск. ун-та. Физ. Астрон. 2002. № 5. С. 74 (Moscow University Phys. Bull. 2002. No. 5. P. 90).

4. Гришин В.К., Ишханов Б.С., Шведун В.И. // Вестн. Моск. ун-та. Физ. Астрон. 1996. № 1. С. 83 (Moscow University Phys. Bull. 1996. No. 1. P. 69).
5. Bogdanovich B., Kudinov V., Nesterovich A. et al. // Proceeding of «PAC'97» (Vancouver, 1997). 1998. IEEE. P. 276.
6. Kaplin V.V., Lombardo L.W., Mihalchuk A.A. et al. // Nucl. Instr. and Meth. in Phys. Res. 1998. **B145**. P. 244.
7. Grishin V., Ishkhanov B., Likhachev S. et al. // Proc. of Int. Conf. PAC97. APS-IEEE. 1997. P. 3866.
8. Гришин В.К., Ишханов Б.С., Лихачев С.П. // Вестн. Моск. ун-та. Физ. Астрон. 2000. № 3. С. 62. (Moscow University Phys. Bull. 1998. No. 3. P. 76).
9. Гришин В.К., Лихачев С.П., Насонов Н.Н. // Изв. РАН. Физика. 2000. **64**, № 11. С. 2147.
10. Brun R., Bruyant, Maire M. et al. // GEANT3 (User manual). GERN. Geneva, Switzerland, 1990.

Поступила в редакцию  
04.10.02

## РАДИОФИЗИКА

УДК 535.13:535.36

### СТРУКТУРА СПЕКТРА ПОГЛОЩЕНИЯ ДИЭЛЕКТРИЧЕСКОГО ШАРА

Г. В. Белокопытов, А. В. Журавлев

(кафедра физики колебаний)

E-mail: gyb@phys.msu.su

**Описаны алгоритм и результаты численного расчета сечения поглощения сферической частицы с малыми потерями в широком диапазоне значений параметра дифракции. Показано, что резонансные пики поглощения группируются в серии, в пределах которых резонансные амплитуды зависят от номера моды подобным образом.**

Теория рассеяния и поглощения электромагнитных волн сферическими частицами (теория Ми) имеет вековую историю и многочисленные приложения [1–3]. В ее рамках известно, что сечение рассеяния электромагнитных волн немонотонно зависит от частоты, или, что эквивалентно, от параметра дифракции  $q$  ( $q = 2\pi a/\lambda_0 = \omega a/c$ , где  $a$  — радиус частицы,  $\lambda_0$  — длина волны в вакууме,  $c$  — скорость света). Эта немонотонность носит двоякий характер, наряду с плавными осцилляциями, затухающими с ростом  $q$ , наблюдаются острые, на первый взгляд нерегулярно расположенные пички («рябь»).

Причиной появления «ряби» является резонансное возбуждение высокодобротных мод («мод шепчущей галереи»). Характеристики резонансов, их влияние на рассеяние света исследовались численно в работах [4–7]. Кроме того, в статьях [8, 9] предложены аналитические формулы для нахождения

амплитуд и добротностей резонансных пиков. Однако упомянутые работы не дают адекватного представления о виде зависимостей сечения рассеяния  $C_{sca}(q)$  и сечения поглощения  $C_{abs}(q)$ , поскольку численное моделирование в [4–7] было выполнено в ограниченном интервале значений  $q$  и с пренебрежением поглощения в частице. Что касается формул, полученных в [8, 9], то их использование для качественных выводов затруднительно, а применение для вычислений требует предварительного расчета собственных частот резонансных мод, причем для мод с высокими номерами точность вычислений должна быть чрезвычайно высокой.

В настоящей работе исследуются зависимость эффективности поглощения  $\bar{C}_{abs}$  (сечения  $C_{abs}$ , нормированного на площадь сечения частицы  $\pi a^2$ ) от параметра дифракции  $q$ . Для вычисления и наблюдения резонансов более удобно рассматривать зависи-

мости  $\bar{C}_{\text{abs}}(q)$ , а не зависимости эффективности поглощения и экстинкции. К тому же именно величина  $C_{\text{abs}}$  пропорциональна электромагнитной энергии, запасенной внутри резонатора, а положение и высота максимумов  $\bar{C}_{\text{abs}}(q)$  характеризуют оптимальные условия для наблюдения оптической левитации и нелинейно-оптических эффектов. Нами проведено численное моделирование зависимостей  $\bar{C}_{\text{abs}}(q)$  для частиц с комплексным показателем преломления  $m_1 = 1.323 + i\alpha$ , где  $\alpha$  — показатель затухания, при этом показатель преломления окружающей среды  $m_2 = 1$ . Это приближенно соответствует случаю капля воды, причем величины  $q < 380$  соответствуют диаметрам капли до 120 длин световых волн.

Расчет эффективности поглощения  $\bar{C}_{\text{abs}}$  производился по формулам теории Ми [2]:

$$\bar{C}_{\text{abs}} = \bar{C}_{\text{ext}} - \bar{C}_{\text{sca}}, \quad (1)$$

где

$$\bar{C}_{\text{sca}} = \frac{2}{(m_2 q)^2} \sum_{n=1}^{\infty} (2n+1) \left\{ |a_n|^2 + |b_n|^2 \right\}, \quad (2)$$

$$\bar{C}_{\text{ext}} = \frac{2}{(m_2 q)^2} \sum_{n=1}^{\infty} (2n+1) \text{Re}(a_n + b_n). \quad (3)$$

где  $a_n, b_n$  — парциальные амплитуды волн, рассеянных диэлектрическим шаром.

Эффективность поглощения можно выразить также через парциальные амплитуды вынужденных колебаний  $c_n$  и  $d_n$ :

$$\bar{C}_{\text{abs}} = \frac{2}{(m_2 q^2)^2} \sum_{n=1}^{\infty} (2n+1) (u_n |c_n|^2 + v_n |d_n|^2), \quad (4)$$

где

$$u_n = \frac{1}{|m_1|^2} \text{Im} \left\{ [\psi_n(q)\psi'_n(m_1 q) - m_1 \psi_n(m_1 q)\psi'_n(q)] \times \right. \\ \left. \times [\chi_n(q)\psi'_n(m_1 q) - m_1 \psi_n(m_1 q)\chi'_n(q)]^* \right\},$$

$$v_n = \frac{1}{|m_1|^2} \text{Im} \left\{ [m_1 \psi_n(q)\psi'_n(m_1 q) - \psi_n(m_1 q)\psi'_n(q)] \times \right. \\ \left. \times [m_1 \chi_n(q)\psi'_n(m_1 q) - \psi_n(m_1 q)\chi'_n(q)]^* \right\},$$

$\psi_n(z)$  и  $\chi_n(z)$  — функции Риккати–Бесселя 1-го и 2-го рода [1–3]. Формула (4) эквивалентна (1)–(3), ее достоинством является то, что она в явном виде показывает рост сечения поглощения на частотах, где имеются максимумы парциальных амплитуд вынужденных колебаний.

### Алгоритм

Расчет зависимостей  $C_{\text{abs}}(q)$  производился по формулам (1)–(3). Парциальные амплитуды  $a_n, b_n, c_n$  и  $d_n$  находились по известным формулам теории Ми [1–3]. Вычисление функций Риккати–Бесселя производилось методом нисходящей рекурсии по рекуррентным формулам [10].

Основная трудность при вычислении по формулам (1)–(3) или (4) состоит в достижении сочетания высокой точности и приемлемой скорости расчетов. Малая ширина резонансов по сравнению с расстоянием между ними требует малого шага и большого количества точек по  $q$ . Если шаг по  $q$  выбран недостаточно мелким, то могут быть упущены особенности, связанные с возбуждением наиболее добротных «мод шепчущей галереи» [4]. Такие пропуски становятся почти неизбежными при расчете панорамных зависимостей  $\bar{C}_{\text{abs}}(q)$ . Получаемые при этом графики (см., напр., работу [2]) указывают на существование резонансных всплесков, однако не способны дать правильное представление об их амплитудах, добротностях и частоте появления. Отмеченные недостатки отсутствуют в применяемом в настоящей работе подходе с использованием неравномерного шага.

В ходе вычислений создавались массивы величин, характеризующих моды. В них входили резонансные значения параметра дифракции  $q_{\text{res}}(n, l)$ , добротности  $Q(n, l)$  и резонансные значения парциальных амплитуд внутри резонатора  $|c_{\text{res}}(n, l)|, |d_{\text{res}}(n, l)|$ . Индекс  $n$  в теории Ми (номер моды) равен числу узлов поля по угловой координате  $\theta$ . Индекс  $l$  (порядок моды) определяется как номер резонансного максимума на зависимости  $|c_n(q)|$  (рис. 1), зависимости для  $|d_n(q)|$  аналогичны. Вычислив ряд значений  $c_n$  (или  $d_n$ ) в окрестности данного резонанса, мы аппроксимировали зависимости от  $q$  резонансными кривыми общепринятого вида:

$$|c_n(q)|^{-2} = |c_{\text{res}}(n, l)|^2 [1 + Q^2(n, l)(1 - q_{\text{res}}^2(n, l)/q^2)]$$

(то же справедливо и для  $d_n(q)$ ) и находили совокупность значений  $|c_{\text{res}}(n, l)|, Q(n, l)$  и  $q_{\text{res}}(n, l)$  методом наименьших квадратов. Таким образом, все три интересующие характеристики можно вычислить небольшим количеством итераций.

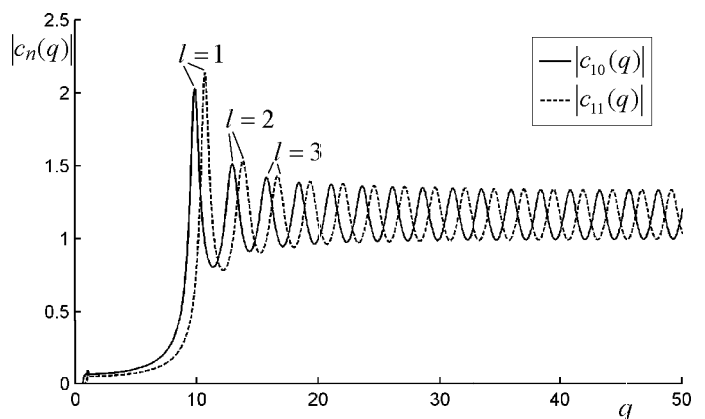


Рис. 1. Парциальные амплитуды десятой и одиннадцатой поперечно-магнитных мод. Обозначены порядки первых трех резонансов.  $m_1 = 1.323 + 9.74 \cdot 10^{-6}$ ,  $m_2 = 1$

Расчет  $c_n(q)$  и  $d_n(q)$  для первых двух мод ( $n = 1, 2$ ) производился с постоянным шагом, выбираемым так, чтобы в окрестности каждого резонанса имелось не менее десяти точек. Для третьей и

последующих мод на основе информации о предыдущих двух модах делалось предсказание резонансной частоты  $\tilde{q}_{\text{res}}(n, l)$  и добротности  $\tilde{Q}(n, l)$ . Причем учитывалось то обстоятельство, что зависимость собственных частот  $q_{\text{res}}$  от номера  $n$  при  $l = \text{const}$  почти линейна, а добротность монотонно растет с ростом номера  $n$ . В окрестности предсказанной точки  $q = \tilde{q}_{\text{res}}(n, l)$  с приемлемым шагом (не менее десятка точек на максимум), определяемым добротностью и резонансной частотой ( $dq = \Delta q/10 = \tilde{q}_{\text{res}}/[\tilde{Q} \times 10]$ ), программа, как правило, находила резонанс. В случае когда первоначальная оценка резонансной частоты оказывалась неточной, вычислялись дополнительные точки, соответствующие изменению  $q$  в сторону резонанса. Полученная подобным образом выборка точек обрабатывалась методом наименьших квадратов и динамически пополняла базу данных характеристик резонансов.

Построение зависимости  $\bar{C}_{\text{abs}}(q)$  проводилось следующим образом. Вначале весь интервал  $q$  проходил с постоянным шагом, который можно варьировать в зависимости от требуемой точности, например для эффективности поглощения, представленной на рис. 2, б, был взят шаг  $\approx 0.4$ . К результатам, вычисленным при постоянном шаге, добавлялись отсчеты, соответствующие окрестностям резонансов  $(n, l)$ , обычно по 10 точек на резонанс. В расчет зависимости рис. 2, б принималось около 2000 резонансов, имевших достаточно большую

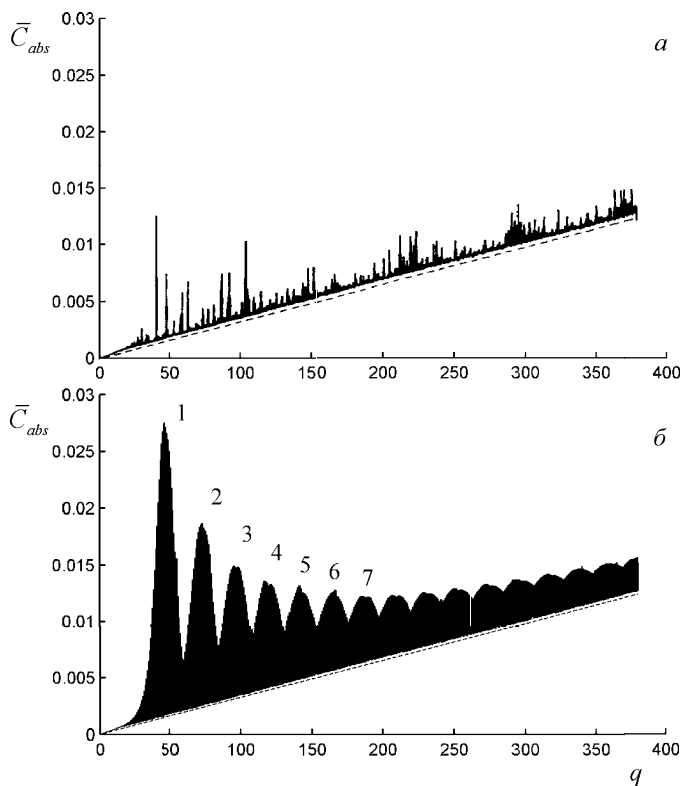


Рис. 2. Расчетная эффективность поглощения водяной капли  $\bar{C}_{\text{abs}}$ ; (а) результаты работы [2], (б) — настоящая работа, цифры у максимумов указывают порядок резонансных мод  $l$ . Пунктирная линия — приближение геометрической оптики;  $m_1 = 1.323 + 9.74 \cdot 10^{-6}i$ ,  $m_2 = 1$

амплитуду. Таким образом, на интервале  $q$  от 0 до 380 располагалось примерно 20000 точек неравномерной сетки. Если бы расчет велся с постоянным шагом, то при  $Q \sim 10^5$  следовало бы брать шаг  $\Delta q \sim 10^{-4}$ , и тогда потребовалось бы на интервале вычислений брать гораздо большее число точек, около  $4 \cdot 10^6$ .

Таким образом, описанный алгоритм позволяет, не упуская участков резонансного поведения, существенно сэкономить время вычислений.

## Результаты

Типичные результаты расчетов эффективности поглощения представлены на рис. 2–4. Зависимость  $\bar{C}_{\text{abs}}(q)$  (рис. 2, б) имеет две составляющие: «пьедестал», монотонно возрастающий с ростом параметра дифракции, и последовательность серий узких резонансных пиков.

В области пьедестала кривая эффективности поглощения формируется за счет суммирования вкладов от резонансов  $E_{n,1,l}$ ,  $H_{n,1,l}$  с  $q > n$ . Эти резонансы соответствуют волнам, для которых условия полного внутреннего отражения не выполняются. Как видно на рис. 1, добротности этих резонансов низки, а осцилляции соседних мод при суммировании компенсируют друг друга.

Серии резонансных пиков различаются радиальным индексом  $l$ . При увеличении значений  $q$  наблюдаются резонансы с большими номерами  $l$ . На рис. 2, б можно увидеть лишь общий ход огибающих резонансных мод, соответствующих различным

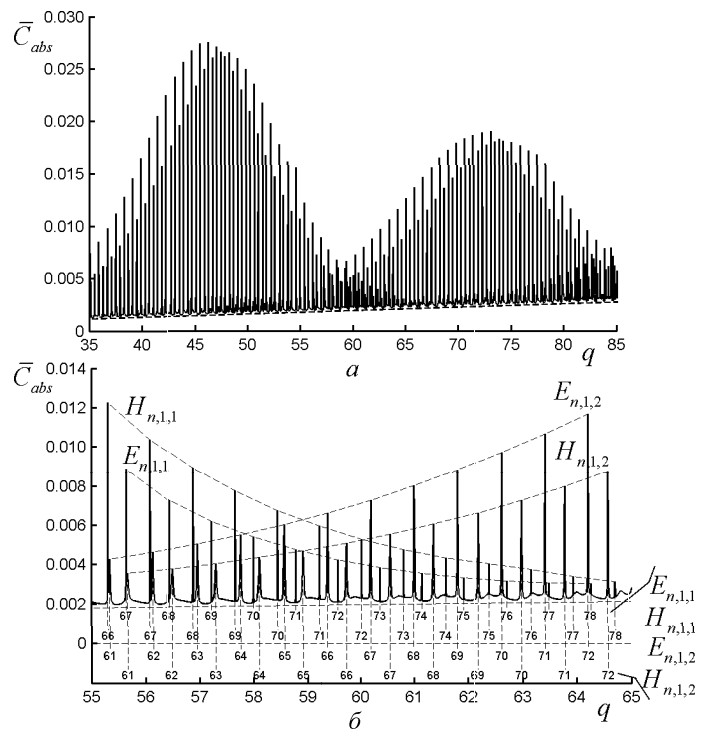


Рис. 3. Эффективность поглощения водяной капли  $\bar{C}_{\text{abs}}$ . Внизу указаны номера мод  $n$ , соответствующие резонансам указанных серий;  $m_1 = 1.323 + 9.74 \cdot 10^{-6}i$ ,  $m_2 = 1$

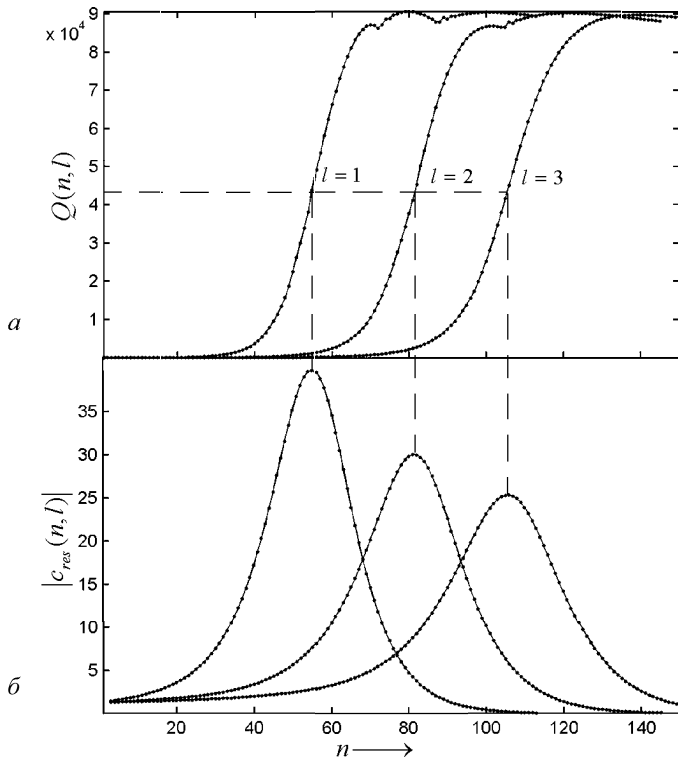


Рис. 4. Добротность  $Q(n, l)$  поперечно-магнитных мод первых трех порядков (а), парциальные амплитуды  $|c_{res}(n, l)|^2$  этих мод на резонансной частоте (б).  $m_1 = 1.323 + 9.74 \times 10^{-6}i$ ,  $m_2 = 1$

порядкам  $l$ . При увеличении масштаба по  $q$  становятся различимыми более тонкие детали. Так, на рис. 3, а представлен ход зависимости  $\bar{C}_{abs}(q)$ , в интервале  $q$ , где резонансный вклад формируют серии резонансов первых двух порядков ( $l = 1$  и  $l = 2$ ). Для всех порядков  $l$  частотные интервалы, соответствующие областям наблюдения мод  $E_{n,1,l}$  (поперечно-магнитных), и  $H_{n,1,l}$  (поперечно-электрических) частично перекрываются, причем огибающая семейства  $E_{n,1,l}$  достигает максимума при меньших  $q$ . На рис. 3, б представлен фрагмент зависимости сечения поглощения в интервале  $q$ , где имеет место перекрытие серий  $l = 1$  и  $l = 2$ . В этом интервале резонансные амплитуды первых двух серий ( $E_{n,1,1}$  и  $H_{n,1,1}$ ) убывают, а вторых ( $E_{n,1,2}$  и  $H_{n,1,2}$ ) — возрастают. В пределах одного семейства линии различаются номером резонанса (индекс  $n$  указан внизу рисунка) и при больших  $n$  образуют практически эквидистантную гребенку.

Для мод данной серии добротности резонансов монотонно возрастают с ростом номера  $n$  и асимптотически стремятся к уровню  $Q_{max} \approx m'/2m'' \sim \alpha^{-1}$  (см. рис. 4, а). Зависимость же амплитуды резонанса от номера моды немонотонна (см. рис. 4, б). При последовательном увеличении  $n$ , высота резонанса сначала увеличивается вместе с ростом добротности. Максимальное значение парциальной амплитуды достигается у той моды, для которой потери на излучение равны потерям на поглощение. При дальнейшем увеличении  $n$  высота резонансных пиков уменьшается из-за ослабления связи резонатора

с возбуждающей электромагнитной волной. Вклад мод с достаточно большими номерами  $n$  в общую картину рассеяния и поглощения становится пренебрежимо малым. Как следствие, наблюдаемая в резонаторе с потерями спектральная плотность мод при больших  $q$  оказывается существенно меньшей, чем дают расчеты, в которых потери на поглощение пренебрежимо малы [12]. Благодаря эффекту убывания амплитуд слабо связанных мод с ростом параметра дифракции, моды различных порядков полностью не перекрываются и мы можем различать огибающие на графике эффективности поглощения (рис. 2, б, 3, а).

Высота резонансных пиков уменьшалась при росте коэффициента затухания  $\alpha$ . При этом условие оптимальной связи  $Q_{n,l} = \frac{1}{2}Q_{max}$  достигалось при меньших значениях номера моды  $n$ . Соответственно при росте  $\alpha$  имел место сдвиг огибающих серий резонансов влево по оси частот (параметра дифракции  $q$ ).

### Заключение

Представленные результаты иллюстрируют качественные закономерности поглощения, которые являются общими для сферических резонаторов с невысоким показателем преломления при различных уровнях потерь. Как видно, спектр поглощения состоит из нерезонансного «пьедестала», и резонансных пиков, соответствующих возбуждению высокодобротных «мод шепчущей галереи». При этом резонансные пики группируются в серии, соответствующие модам различных порядков, а зависимости резонансных амплитуд от номера моды и для различных серий качественно подобны.

Описанные выше закономерности группировки резонансов в серии и немонотонность зависимости резонансных амплитуд в пределах серии становятся очевидными при рассмотрении спектра поглощения в широком интервале параметров дифракции и при учете конечного поглощения в диэлектрике. Сделанное при этом усовершенствование методики расчета спектров будет также полезным при решении смежных задач теории Ми.

### Литература

1. Kerker M. The scattering of light and other electromagnetic radiation. N. Y., 1969.
2. Борен К., Хафмен Д. Поглощение и рассеяние света малыми частицами. М., 1986.
3. Борн М., Вольф Э. Основы оптики. М., 1970.
4. Chylek P., Kiehl J.T., Ko M.K.W. // Appl. Opt. 1978. **17**, No. 19. P. 3019.
5. Probert-Zones J.R. // J. Opt. Soc. Am. A. 1984. **1**, No. 8. P. 822.
6. Conwell P.R., Barber P.W., Rushforth G.K. // J. Opt. Soc. Am. A. 1984. **1**, No. 1. P. 62.
7. Bott A., Zdunkowski W. // J. Opt. Soc. Am. A. 1987. **4**, No. 8. P. 1361.

8. *Lam C.C., Leung P.T., Young K.* // J. Opt. Soc. Am. B. 1992. **9**, No. 9. P. 1585.
9. *Johnson B.R.* // J. Opt. Soc. Am. 1993. **10**, No. 2. P. 343.
10. Справочник по специальным функциям / Под ред. М. Абрамовица, И. Стиган. М., 1979.
11. *Gastine M., Courtois L., Dormann J.L.* // IEEE Trans. on microwave theory and techniques. 1968. **MTT-15**, No. 12. P. 694.
12. *Hill S.C., Benner R.E.* // J. Opt. Soc. Am. B. 1986. **3**, No. 11. P. 1509.

Поступила в редакцию  
06.11.02